



نشریه علمی مکانیک سازه‌ها و شاره‌ها

DOR:

بررسی اثر ضربه کم سرعت بر انرژی شکست نمونه آزمایش ضربه سقوطی با شیار ماشین کاری شده در فولاد API X65

احسان فتحی عسگرآباد^{۱*} و سید حجت هاشمی^۲^۱ دانشجوی دکتری، مهندسی مکانیک، دانشگاه بیرجند، بیرجند^۲ استاد، مهندسی مکانیک، دانشگاه بیرجند، بیرجند

مقاله مستقل، تاریخ دریافت: ۱۳۹۹/۰۷/۲۳؛ تاریخ بازنگری: ۱۳۹۹/۰۹/۱۵؛ تاریخ پذیرش: ۱۳۹۹/۱۱/۲۰

چکیده

هدف از تحقیق حاضر بررسی اثر ضربه کم سرعت بر انرژی شکست نمونه آزمایشگاهی ضربه سقوطی از جنس فولاد API X65 است. در اثر اعمال ضربه، تغییر شکل دائم در نمونه ایجاد می‌شود که می‌تواند انرژی شکست فولاد را تحت تأثیر قرار دهد؛ بنابراین بررسی اینکه این تغییر شکل چه میزان انرژی شکست نمونه را تغییر می‌دهد، اهمیت دارد. نمونه آزمایشگاهی حاوی شیار شورن به عمق ۵/۱ میلی‌متر است. نمونه‌ها از بدنه لوله فولادی با درز جوش مارپیچ با قطر خارجی ۱۲۱۹ و ضخامت دیواره ۱۴/۳ میلی‌متر جدا شدند. آزمایش انجام شده در دو مرحله روی ۱۸ نمونه در ۶ گروه سه تابی انجام شد. در مرحله اول از آزمایش، ارتفاع سقوط چکش طوری در نظر گرفته شد که نمونه‌ها شکسته نشده و فقط ناحیه مجاور نوک ترک وارد منطقه پلاستیک شود. در ادامه با اعمال ضربه دوم از ارتفاع ۲ متری تمامی نمونه‌ها شکسته شدند. با ترسیم نمودار انرژی شکست بر حسب انرژی منتقل شده به نمونه مشاهده شد، افزایش انرژی در مرحله اول آزمایش، انرژی شکست نمونه‌ها را کاهش می‌دهد. در انتها یک رابطه خطی با دقت قابل قبول برای این کاهش انرژی پیشنهاد شد که رابطه مستقیم بین انرژی شکست را با انرژی ضربه اولیه نشان می‌دهد.

کلمات کلیدی: آزمایش ضربه سقوطی؛ فولاد API X65؛ ضربه کم سرعت؛ انرژی شکست؛ شیار شورن.

Experimental Study of Low Velocity Impact Effect on Fracture Energy of API X65 Steel Using Drop Weight Tear Test

E. Fathi-Asgarabadi¹, S. H. Hashemi^{2,*}¹ Ph.D. Student, Mech. Eng., University of Birjand., Birjand, Iran.² Prof., Mech. Eng., University of Birjand., Birjand, Iran.

Abstract

The purpose of this research is to investigate the effect of low velocity impact on fracture energy of DWTT specimen made of API X65 steel. Permanent deformation occurs in specimen by impact, which can affect the fracture energy of tested steel. Therefore, it is important to investigate how much this deformation changes the fracture energy of test samples. All examined specimens had Chevron notch of 5.1 mm depth, cut from a spiral seam welded pipe with 1219mm outside diameter and 14.3mm wall thickness. Experiments were performed in two stages on 18 samples in 6 groups, consisting of three samples. In the first stage, hammer drop height was low and specimens did not fail. However, only the area adjacent to the crack tip experienced plastic deformation. Subsequently, all samples were fractured by applying a second impact from 2m height. By plotting the fracture energy in terms of the energy transferred to the sample, it was observed that increasing the energy in the first stage of experiment, reduced fracture energy of the specimens. Finally, a linear relationship with acceptable accuracy for this energy drop was proposed, which showed a direct relationship between the fracture energy and the initial impact energy.

Keywords: Drop Weight Tear Test; API X65 Steel; Low Velocity Impact; Absorbtion Energy; Chevron Notch.

* نویسنده مسئول؛ تلفن: ۰۵۶۳۲۲۰۲۱۴۲؛ فکس: ۰۵۶۳۲۲۰۲۱۴۲

آدرس پست الکترونیک: shhashemi@birjand.ac.ir

۱۳۲۷۰ و ۱۱۹۸۰ ژول با درصد خطای ۹/۷۲ بدست آمد [۷]. فتحی و هاشمی در پژوهشی انرژی شکست نمونه آزمایش ضربه سقوطی از جنس API X65 را به صورت عددی و تجربی تعیین کردند. هدف از این تحقیق تخمین مقاومت ماده در برابر شکست بود. نمونه آزمایشگاهی تحت بارگذاری دینامیکی (بارگذاری ضربه‌ای) با سرعت اولیه ۶/۳ متر بر ثانیه قرار گرفت. با ترسیم منحنی نیرو-جابجایی و محاسبه سطح زیر آن مقدار انرژی شکست نمونه آزمایشگاهی برای داده‌های تجربی و مدل‌سازی کامپیوترا به ترتیب ۷۰۸۵ و ۶۸۰۰ ژول به دست آمد [۸]. در پژوهشی دیگر فتحی و هاشمی به بررسی تجربی و عددی جذب انرژی حین اعمال ضربه می‌توان انرژی جذب شده توسط نمونه را محاسبه کرد [۹].

سیاح و همکاران به بررسی تجربی و عددی تغییر شکل غیر الاستیک ورق‌های دایروی، مستطیلی و مثلثی تحت بارگذاری هیدرودینامیکی با سرعت پایین توسط چکش پرتالهای پرداختند. آزمایش‌ها تحت سطوح انرژی مختلف با تغییر ارتفاع و جرم چکش انجام گرفت و بیشترین خیز دائمی ورق به عنوان خروجی آزمایش ثبت شد. نتایج نشان داد، ارتفاع وزنه بیشترین تأثیر و جرم چکش نیز کمترین اثر بر پاسخ را داشت [۱۰].

در سال ۲۰۱۶ پژوهش دیگری توسط یو و همکاران روی تحلیل جذب انرژی^۲ در نمونه‌های استاندارد آزمایش سقوط آزاد وزنه از جنس API X80 با استفاده از مدل المان محدود و ناحیه چسبنده^۳ صورت گرفت. انرژی لازم برای شکست نمونه با محاسبه سطح زیر منحنی نیرو-جابجایی ۵۰۸۲ ژول بدست آمد. در این تحقیق نشان داده شد در نمونه‌های با چقرمگی بالا تنها حدود ۶۰ درصد انرژی جذب شده صرف رشد ترک^۴ می‌شود و بخش زیادی از انرژی صرف تغییر شکل

۱- مقدمه
آزمایش ضربه سقوطی یک آزمایش استاندارد صنعتی است که از آن برای بدست آوردن انرژی شکست و تعیین ویژگی‌های سطح شکست نمونه‌های فولادی استفاده می‌شود [۱]. علاوه بر این آزمایش، آزمایش‌های مشابه دیگری مانند ضربه شاربی وجود دارد که با همین هدف طراحی و برای نمونه‌های کوچکتر در صنعت نفت و گاز قابل استفاده است. در آزمایش ضربه سقوطی، نمونه آزمایشگاهی برخلاف نمونه آزمایش ضربه شارپی، بزرگ‌تر بوده و ضخامتی برابر با ضخامت خود لوله دارد. این ویژگی باعث می‌شود، نتایج حاصل شده از آزمایش ضربه سقوطی به واقعیت نزدیک‌تر باشد [۲].

مزیت دیگر این آزمایش در نمایش مسیر رشد ترک است که به دلیل زیاد بودن ناحیه بدون ترک اولیه^۱، سطح شکست بزرگتری را جهت مطالعات بعدی و شکست نگاری در اختیار قرار می‌دهد [۳-۴].

در آزمایش ضربه سقوطی مطابق استاندارد API 5L3 از نمونه مستطیلی با یک شیار در سطح زیرین آن استفاده می‌شود که تحت کشش قرار می‌گیرد. سرعت اولیه ضربه بسته به استحکام و ضخامت نمونه از ۵ تا ۹ متر بر ثانیه قابل تغییر است که این سرعت با تغییر ارتفاع چکش تنظیم می‌شود [۱۱]. همچنین نرخ کرنش در این آزمایش در محدوده ۱۰ تا ۱۰۰۰ بر ثانیه متغیر است [۶-۵].

هدف از تحقیق حاضر بررسی اثر ضربه کم سرعت (ضربه‌ای که انرژی آن کمتر از انرژی شکست فولاد بوده و نمونه پس از ضربه دچار شکست نمی‌شود و فقط ناحیه مجاور نوک ترک دچار تغییر شکل پلاستیک می‌شود) بر انرژی شکست فولاد API X65 با استفاده از آزمایش ضربه سقوطی است. در مطالعات صورت گرفته قبلی، اسنايدر و همکاران مقاومت در برابر شکست دینامیکی سه فولاد با گرید API X100، API X80 و API X65 را بررسی کردند. آزمایش صورت گرفته در گرید API X65 روی نمونه‌ای به ضخامت ۱۹ میلی‌متر با شیار پرسی (شیاری که توسط دستگاه پرس ایجاد می‌شود و ظاهر V شکل دارد) صورت گرفت. مقدار انرژی شکست تجربی و عددی در این آزمایش به ترتیب

² Absorption Energy

³ Cohesive Zone (CZ)

⁴ Crack Growth

^۱ Ligament

انتهای سطح شکست نشان می‌دهد که بارگذاری از حالت کششی در ریشه شیار به بارگذاری برشی در انتهای سطح شکست تبدیل می‌شود [۱۵].

فانگ و همکاران به ارزیابی ترک روی لوله‌های خطوط انتقال با استفاده از نمونه‌های آزمایش ضربه سقوطی پرداختند. در این تحقیق دو نمونه A و B به ترتیب با ضخامت‌های ۳۱ و ۱۹ میلی‌متر تحت شکست قرار گرفتند. با ترسیم نمودار نیرو-تغییرمکان ملاحظه شد، رفتار شکست برای هر دو گروه از نمونه‌ها به لحاظ شکل ظاهری شباهت بسیاری دارند. تنها در قطعه A انرژی جذب شده در آزمایش ضربه سقوطی افزایش یافته است. در این پژوهش سطوح شکست نمونه‌های A و B نیز بررسی شدند که شباهت بسیار زیادی را از نظر ظاهری به هم داشتند [۱۶].

طیبی منش و هاشمی در پژوهشی آزمایش ضربه کم سرعت را روی نمونه‌های استاندارد شارپی انجام دادند. پیش از انجام آزمایش ضربه کم سرعت، آزمایش ضربه شارپی روی نمونه‌های استخراج شده از فلز پایه صورت گرفت و انرژی شکست میانگین برای سه نمونه ۲۵۸ ژول بدست آمد. در بخش دیگر ۱۲ نمونه در چهار گروه جداگانه آزمایش شدند. در ابتدا به سه نمونه انرژی اولیه ۳۰ ژول (معدل ۱۱/۶ درصد انرژی شکست نمونه) وارد گردید. سپس برای نمونه‌های دیگر انرژی ۴۰، ۵۰ و ۶۰ ژول اعمال شد. در مرحله بعد تمامی نمونه‌ها با استفاده از دستگاه ضربه شارپی ۷۵۰ ژول شکسته شدند. با بررسی نتایج ملاحظه شد با افزایش انرژی ضربه اولیه انرژی شکست نمونه کاهش می‌یابد [۱۷].

در پژوهش حاضر اثر ضربه کم سرعت بر انرژی شکست فولاد API X65 توسط آزمایش ضربه سقوطی مورد بررسی قرار گرفته است. از آنجایی که ممکن است، در مواردی در اثر ضربه ناگهانی یا پیش بارگذاری^۴ انرژی شکست فولاد تحت تأثیر قرار گیرد، بررسی این موضوع اهمیت پیدا می‌کند. این ضربه ناگهانی ممکن است، در اثر عواملی مانند جابجایی و یا در مرحله نصب لوله‌ها صورت پذیرد. در اثر ضربه و ایجاد تغییر شکل پلاستیک در لوله انتظار می‌رود، انرژی شکست کاهش یابد؛ بنابراین، نیاز به محاسبه انرژی شکست فولاد پس از اعمال ضربه کم سرعت است. با توجه به اینکه

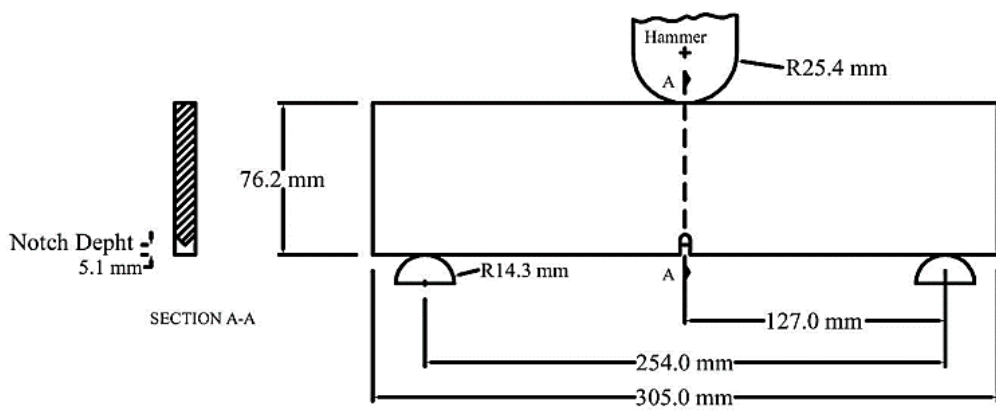
پلاستیک^۱ در نواحی تکیه‌گاه‌ها و ناحیه برخورد چکش با نمونه شده است [۱۱]. رودلند و همکاران چندین آزمایش ضربه سقوطی را روی نمونه فولاد API X70 برای اندازه‌گیری زاویه گشودگی نوک ترک^۲ و بدست آوردن چقلمگی شکست نرم حالت پایدار برای لوله‌های خطوط انتقال انجام دادند. در آزمایش‌های صورت گرفته با معلوم بودن جرم چکش، سرعت چکش و منحنی نیرو-زمان، تغییرمکان چکش با دو بار انتگرال گیری از منحنی نیرو-زمان بدست آمد. در ادامه با محاسبه سطح زیر منحنی نیرو-جابجایی مقدار انرژی شکست برای نمونه API X70 برابر ۴۵۰۰ ژول بدست آمد [۱۲]. هاری و همکاران با اصلاح مدل آسیب ژو-ویرزبیکی اثرات نرخ کرنش^۳ را در نمونه فولادی API X70 در کد المان محدود پیاده‌سازی کردند. سپس به بررسی پاسخ دینامیکی و استاتیکی این نمونه در آزمایش خم شه نقطعه‌ای پرداختند. در این تحقیق دو تفاوت عمده بین بارگذاری استاتیکی و دینامیکی حاصل شد. با مقایسه نمودارهای نیرو- جابجایی مشاهده شد، اثرات نرخ کرنش در مقدار انرژی شکست و مقدار نیروی حداکثر تأثیر می‌گذارد. نتیجه دیگر آن با بررسی سطح شکست در نمونه حاصل شده است. سطح شکست در آزمایش دینامیکی برشی است؛ در حالیکه در آزمایش استاتیکی مود اول شکست (مود بازشوندگی) با کمی اعوجاج در لبه‌های ترک مشاهده شده است؛ همچنین، در تحلیل استاتیکی پدیده تونل‌زنی ترک از همان ابتدا شکل سهموی دارد و برخلاف تحلیل دینامیکی تا انتها شکل ترک ثابت و سهموی باقی می‌ماند [۱۳، ۱۴]. تعظیمی و هاشمی در پژوهشی به بررسی تجربی ویژگی‌های سطح شکست نمونه نامتجانس (با درز جوش افقی) با استفاده از آزمایش سقط آزاد وزنه پرداختند. در این پژوهش شکستنگاری نمونه نامتجانس (با درز جوش افقی) آزمایش سقوط آزاد وزنه از جنس فولاد API برای اولین بار انجام شد. در عکس-های حاصل از میکروسکوپ الکترونی روبشی در هر سه ناحیه (فلز پایه، متأثر از حرارت و جوش)، علائم شکست نرم مشاهده شد که شامل حفره‌های مخروطی با اندازه، جهت و شکل متفاوت است. بررسی حفره‌های مخروطی از ابتدا تا

¹ Plastic Deformation

² Crack Tip Opening Displacement (CTOD)

³ Strain Rate Effects

⁴ Pre Loading



شکل ۱- ابعاد نمونه آزمایشگاهی مطابق با استاندارد [۱۸]



شکل ۲- تصویر نمونه فولادی قرار گرفته زیر چکش

۳- روش انجام آزمایش

در تحقیق حاضر اثر ضربه کم سرعت بر انرژی شکست فولاد در لوله فولادی API X65 با حداقل تنش تسلیم ۴۴۸ مگاپاسکال با قطر خارجی ۱۲۱۹ میلی‌متر و ضخامت دیواره ۱۴/۳ میلی‌متر با استفاده از آزمایش ضربه سقوطی بررسی شد. ظرفیت دستگاه با توجه به جرم چکش (۷۰۰ کیلوگرم) و حداقل ارتفاع سقوط (۳ متر) تقریباً ۲۱ کیلوژول است. در شکل ۳ تصویر دستگاه آزمایش ضربه سقوطی استفاده شده در تحقیق حاضر نشان داده شده است؛ همچنین، تصویری از محل قرارگیری چکش و نمونه آزمایشگاهی به همراه محل

ضخامت نمونه استخراج شده در این پژوهش با ضخامت لوله یکسان است، نتایج این آزمایش بیشتر به واقعیت نزدیک است؛ همچنین تجهیزات نصب شده از قبیل مدار کرنش‌سنج (استفاده شده در تحقیق حاضر) و شتاب سنج روی چکش نتایج دقیق‌تری را در اختیار قرار می‌دهد.

۲- معرفی هندسه و خواص مکانیکی نمونه

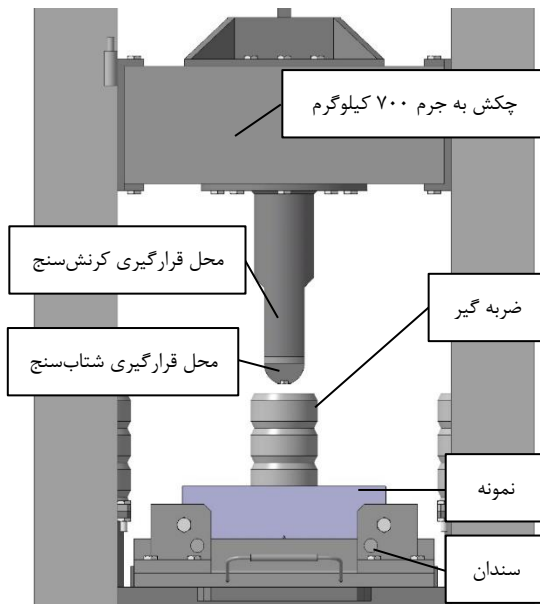
نمونه‌های آزمایش شده در این تحقیق از جنس فولاد API X65 می‌باشد که مشخصات مربوط به آن، توسط موسسه بین‌المللی نفت آمریکا^۱ استاندارد شده است [۱۸]. این نمونه‌ها از نوع شیاردار لبه‌ای با سطح مقطع مستطیلی است. ابعاد و اندازه نمونه استاندارد در شکل ۱ نمایش داده شده است؛ همچنین، تصویر واقعی نمونه فولادی، قرار گرفته زیر دستگاه آزمایش ضربه سقوطی در شکل ۲ نمایش داده شده است.

در جدول ۱ خواص مکانیکی و فیزیکی نمونه آزمایشگاهی ارائه شده است [۸].

جدول ۱- خواص فیزیکی و مکانیکی فولاد API X65 [۸]

مدول یانگ (GPa)	نسبت پواسون	چگالی (kg/m ³)	تنش تسلیم در
۲۱۰	۰/۳	۷۸۰۰	۵۰۵

^۱ American Petroleum Institute (API)



شکل ۴- نمایش شماتیک چکش و نمونه

در شکل ۵ این چهار مرحله نشان داده شده است. در خصوص مرحله اول برش نمونه‌ها هم می‌تواند با حرارت صورت گیرد و هم با تراشکاری که در این تحقیق از روش دوم استفاده شده است. روش اول خواص مکانیکی فولاد را تحت تأثیر قرار می‌دهد؛ بنابراین، در صورت استفاده باید نمونه‌ها با فاصله مشخصی از محل حرارت دیده برش داده شود که خود باعث اتلاف بخش زیادی از لوله می‌شود. در مرحله سوم فرایند مسطح‌سازی صورت می‌گیرد که خود می‌تواند باعث ایجاد تغییر شکل پلاستیک داخل نمونه شود. طبق استاندارد API 5L3 این فرایند یکی از مراحل آماده‌سازی نمونه‌های آزمایشگاهی به شمار می‌رود و باید از اثرات آن صرف نظر شود. در غیر این صورت نمونه هنگام تماس با چکش دچار پیچش می‌شود و آزمایش دیگر اعتبار نخواهد داشت. نکته مهم یکسان در نظر گرفتن شرایط پرسکاری در تمامی نمونه‌های آزمایشگاهی است. با توجه به اینکه همه نمونه‌ها با شرایط یکسان مسطح می‌شوند، اثر این عملیات در تمامی نمونه‌ها یکسان خواهد بود [۱].

تعداد نمونه‌های آزمایشگاهی در این تحقیق ۲۱ نمونه است که در ۷ گروه A تا G (هر گروه سه نمونه) دسته‌بندی شدند. از این نمونه‌ها، ۱۸ نمونه (نمونه‌های گروه A تا F) قبل از شکست تحت ضربه کم سرعت در سطوح مختلف انرژی قرار



شکل ۳- دستگاه ضربه سقوطی استفاده شده در تحقیق حاضر

نصب مدار کرنش سنج و شتاب سنج جهت ثبت نتایج در شکل ۴ نشان داده شده است.

به طور کلی می‌توان بخش آزمایشگاهی این تحقیق را به سه بخش تقسیم کرد:

- ۱- آماده سازی نمونه‌ها
- ۲- انجام آزمایش ضربه کم سرعت جهت ایجاد تغییر شکل پلاستیک در مجاورت نوک ترک
- ۳- انجام آزمایش ضربه جهت شکست نمونه‌ها

۳-۱- آماده سازی نمونه‌های آزمایشگاهی

جهت انجام آزمایش ابتدا باید نمونه‌ها از لوله جدا و به ابعاد استاندارد رسانده شوند؛ بنابراین، چهار مرحله کلی زیر جهت آماده‌سازی نمونه‌ها انجام شده است:

- ۱- برش اولیه نمونه‌ها از لوله اصلی با درز جوش مارپیچ.
- ۲- رساندن نمونه به ابعاد استاندارد با استفاده از عملیات برشکاری و تراشکاری.
- ۳- پرسکاری جهت از بین بردن انحنای نمونه.
- ۴- ایجاد شیار شورون مطابق با استاندارد API 5L3 با استفاده از دستگاه واپرکات.



شکل ۵- مراحل آماده سازی نمونه: (الف) برش اولیه از لوله، (ب) رساندن نمونه به ابعاد استاندارد، (ج) مسطح سازی و (د) ایجاد شیار



شکل ۶- نمایش تعدادی از نمونه های فولادی قبل از آزمایش



شکل ۷- نمایش تجهیزات متصل به دستگاه ضربه سقوطی
جهت ثبت نتایج شتاب سنج و کرنش سنج

گرفته و ۳ نمونه دیگر (نمونه های گروه G) بدون اعمال ضربه کم سرعت مستقیماً با سقوط چکش از ارتفاع ۲ متری شکسته شدند. تعدادی از این نمونه ها در شکل ۶ نشان داده شده اند.

۳-۲- انجام آزمایش ضربه کم سرعت
هدف از انجام آزمایش ضربه کم سرعت ایجاد تغییر شکل پلاستیک کوچک در مجاورت نوک ترک است. برای این منظور ابتدا چکش از ارتفاع های مشخص روی نمونه های آزمایشگاهی سقوط کرد؛ به طوری که که پس از برخورد، نمونه ها دچار شکست نشده و فقط ناحیه مجاور نوک ترک وارد منطقه پلاستیک شود. همان طور که اشاره شد، در مرحله اول از آزمایش فقط نمونه های گروه A تا F تحت ضربه کم سرعت قرار گرفتند. چکش دستگاه ضربه سقوطی مجهز به دو مدار کرنش سنج و شتاب سنج جهت ثبت نتایج است. با تکمیل آزمایش ها، داده های حاصل از مدار کرنش سنج و شتاب سنج توسط تجهیزات متصل به دستگاه ضربه سقوطی استخراج و وارد نرم افزار اکسل شدند. این تجهیزات در شکل ۷ نشان داده شده است. نمودارهای بدست آمده در صفحه اسیلوسکوپ به صورت ولتاژ بر حسب زمان است.

شده است. در شکل ۸ تصویر تعدادی از نمونه‌ها نشان داده شده است که تحت ضربه کم سرعت قرار گرفته‌اند.

۳-۳- انجام آزمایش ضربه جهت شکست نمونه‌ها
در مرحله آخر از آزمایش، تمامی نمونه‌هایی که قبلًاً تحت ضربه کم سرعت قرار گرفتند (نمونه‌های گروه A) به همراه نمونه‌های گروه G از ارتفاع استاندارد ۲ متری تحت ضربه مجدد واقع شدند. این ارتفاع به گونه‌ای انتخاب شده است که سرعت چکش در لحظه برخورد به نمونه در محدوده تعريف شده در استاندارد ۵L3 API (۵ متر بر ثانیه) قرار گیرد. با توجه به روابط انرژی جنبشی و انرژی پتانسیل، سرعت اولیه ضربه مطابق رابطه (۱) بدست می‌آید:

$$V = \sqrt{2gh} \quad (1)$$



شکل ۸- تصویر تعدادی از نمونه‌ها پس از اعمال ضربه کم سرعت

ارتفاعهای سقوط و میزان انرژی ضربه کم سرعت در جدول ۲ مشخص شده‌اند. ارتفاع‌ها به گونه‌ای در نظر گرفته شده که انرژی ضربه کم سرعت در محدوده ۳۰۰ تا ۲۱۰۰ ژول قرار گیرد. انرژی‌های بیشتر از ۲۱۰۰ ژول باعث تغییر شکل زیاد نمونه و رشد ترک شده و انرژی‌های کمتر از ۳۰۰ ژول تغییر شکل پلاستیک قابل توجهی را در نمونه ایجاد نمی‌کند.

مطابق جدول ۲ مشاهده می‌شود با تغییر ارتفاع ضربه از ۵ سانتی‌متر تا ۳۰ سانتی‌متر مقدار انرژی ضربه از ۳۴۳ ژول تا ۲۰۶۰ ژول تغییر می‌کند. نسبت این دو انرژی به انرژی نهایی چکش (۱۳۷۳۴ ژول) که از ارتفاع ۲ متر روی نمونه سقوط می‌کند با صرف نظر کردن از اصطکاک بین ۲/۵ تا ۱۵ درصد است؛ همچنین سرعت ضربه از ۰/۹۹ متر بر ثانیه تا ۲/۴۲ متر بر ثانیه تغییر می‌کند. این دو مقدار به ترتیب ۳۸/۶ درصد و ۱۵/۸ درصد سرعت سقوط چکش از ارتفاع ۲ متری ۶/۲۶ متر بر ثانیه) است. ذکر این نکته ضروری است، مقادیر انرژی ضربه کم سرعت در جدول ۲ با محاسبه انرژی پتانسیل چکش در ارتفاع‌های مختلف بدست آمده است. برای بررسی اینکه چه میزان از انرژی پتانسیل چکش توسط نمونه جذب شده است، سطح زیر نمودار نیرو-جابجایی محاسبه و مشاهده شد، تقریباً در تمامی موارد مقادیر انرژی جذب شده برابر همان انرژی پتانسیل چکش است. با توجه به صلب بودن سندان‌ها و چکش در مقایسه با نمونه بیشتر انرژی صرف تغییر شکل پلاستیک داخل نمونه شده و توسط نمونه جذب

جدول ۲- طبقه‌بندی نمونه‌ها بر اساس ارتفاع ضربه کم سرعت

گروه نمونه‌ها	ارتفاع ضربه کم سرعت (m)	نسبت ارتفاع ضربه کم سرعت به ارتفاع کل (%)	سرعت ضربه کم سرعت (m/s)	انرژی ضربه کم سرعت (J)
A	۰/۰۵	۲/۵	۰/۹۹	۳۴۳
B	۰/۱۰	۵	۱/۴۰	۶۸۶
C	۰/۱۵	۷/۵	۱/۷۱	۱۰۳۰
D	۰/۲۰	۱۰	۱/۹۸	۱۳۷۳
E	۰/۲۵	۱۲/۵	۲/۲۱	۱۷۱۶
F	۰/۳۰	۱۵	۲/۴۲	۲۰۶۰

وجود دارد. همان‌طور که مشاهده می‌شود، سطح شکست در این بخش تخت (مسطح) است که یکی از ویژگی‌های شکست ترد را نشان می‌دهد. با فاصله گرفتن از نوک ترک شکست نرم شروع شده و لبه‌های برشی در بالای نمونه ایجاد شده است.

یکی از شرایط صحت آزمایش ضربه سقوطی این است که نمونه چرمه‌گی لازم برای تبدیل شکست ترد به نرم را داشته باشد [۱۵]. با توجه به شکل (۹-ب) و (۹-ج) می‌توان به وضوح تبدیل شکست ترد به نرم را با فاصله گرفتن از نوک ترک مشاهده کرد.

به منظور مقایسه نتایج، نمودار نیرو-جابجایی برای همه نمونه‌ها ترسیم و میانگین آن‌ها گزارش گردید. شکل ۱۰ نمونه‌های گروه G را نشان می‌دهد که مستقیماً بدون اعمال ضربه اولیه از ارتفاع سقوط ۲ متری شکسته شدند. در شکل ۱۱ این نمودار برای نمونه‌های گروه A تا F نشان داده شده است. این نمونه‌ها ابتدا تحت ضربه کم سرعت قرار گرفته و بعد شکسته شدند. در نمودارهای نشان داده شده در شکل‌های ۱۰ و ۱۱، منحنی سبز رنگ میانگین سه آزمایش را در هر گروه نشان می‌دهد.

در شکل ۱۰ دو ناحیه مختلف را می‌توان برای نمودار نیرو-جابجایی در نظر گرفت. ناحیه اول افزایش نیرو تا شروع ترک (ادغام و به هم پیوستن حفره‌ها) را نشان می‌دهد. در ناحیه دوم ترک شروع به رشد کرده و نیرو کاهش پیدا می‌کند. با محاسبه سطح زیر ناحیه اول انرژی مورد نیاز برای شروع ترک^۱ و با محاسبه سطح زیر ناحیه دوم انرژی مورد نیاز برای رشد ترک^۲ بدست می‌آید. با جمع سطح زیر این دو ناحیه انرژی شکست نمونه بدست می‌آید. با محاسبه سطح زیر نمودار سبز رنگ انرژی شکست میانگین برای سه نمونه آزمایشگاهی بدست می‌آید.

برای مقایسه بهتر نتایج، نمودار نیرو-جابجایی برای میانگین منحنی‌های شش گروه آزمایشگاهی A تا F در شکل ۱۲ ترسیم شده است.

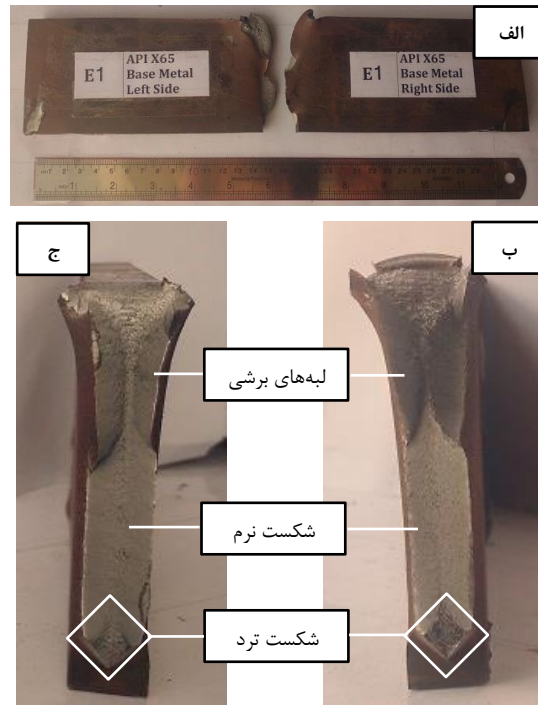
در شکل ۱۲ منحنی‌ها نشان می‌دهد، هر چه انرژی ضربه اولیه بیشتر باشد، سطح نمودار نیرو-جابجایی کاهش یافته و

در این رابطه V سرعت چکش در لحظه برخورد با نمونه، h ارتفاع سقوط چکش و g شتاب گرانش زمین است. با قرار دادن ارتفاع ۲ متر و شتاب گرانش 9.81 متر بر مجدور ثانیه و با صرف نظر کردن از اصطکاک سرعت ضربه چکش در لحظه برخورد با نمونه حدود 6.26 متر بر ثانیه بدست می‌آید.

۴- بررسی نتایج تجربی

با اعمال ضربه چکش از ارتفاع ۲ متری تمامی نمونه‌ها تحت شکست قرار گرفتند. تصویری از اولین نمونه شکسته شده از گروه E که تحت ضربه کم سرعت از ارتفاع ۲۵ سانتی‌متری با انرژی اولیه 1716 ژول قرار گرفته است، به همراه سطوح شکست آن در شکل ۹ نشان داده شده است. پس از ضربه نهایی، انرژی شکست این نمونه 5069 ژول بدست آمد.

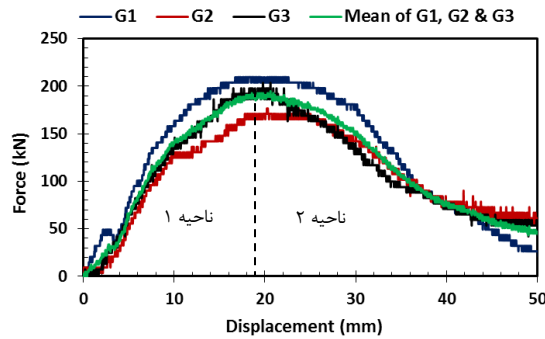
شکل ۹ رفتار نرم ماده را در برابر شکست نشان می‌دهد. با افزایش انرژی نمونه و افزایش تمرکز تنش در نوک شیار، رشد ترک شروع می‌شود. در نوک شیار شرایط شکست ترد



شکل ۹- (الف) اولین نمونه شکسته شده از گروه E.
ب) شکست ترد در مجاورت نوک ترک (نیمه سمت راست) و (ج) شکست اولیه ترد در مجاورت نوک ترک (نیمه سمت چپ)

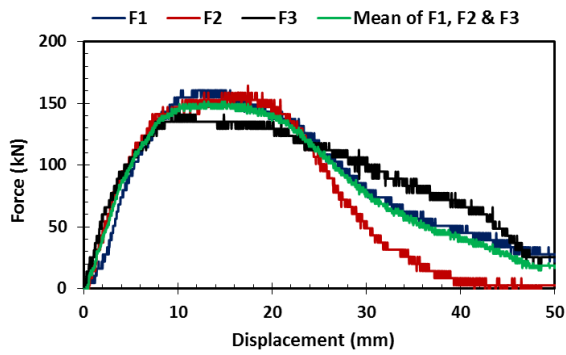
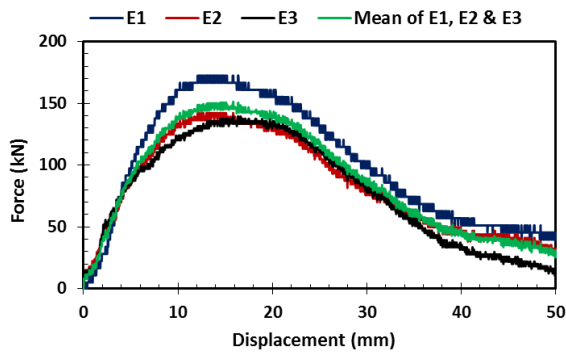
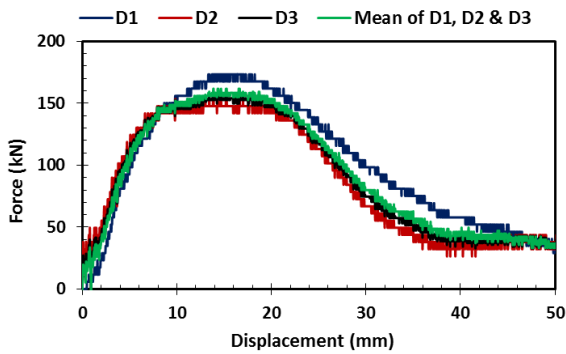
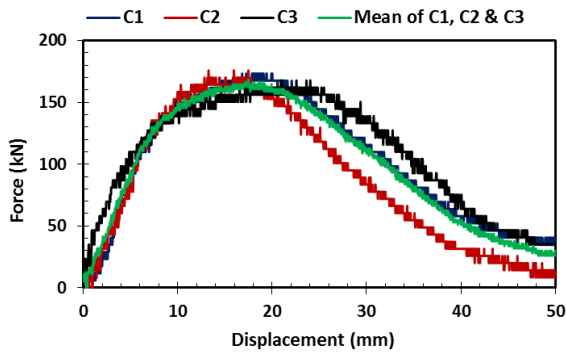
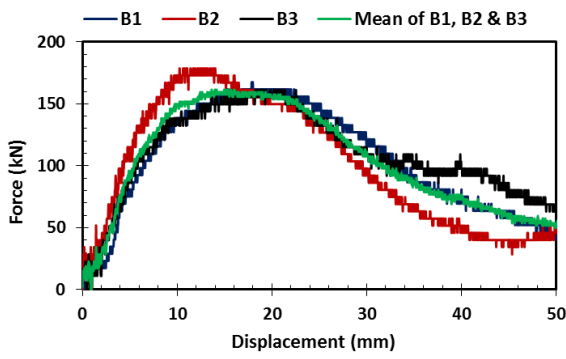
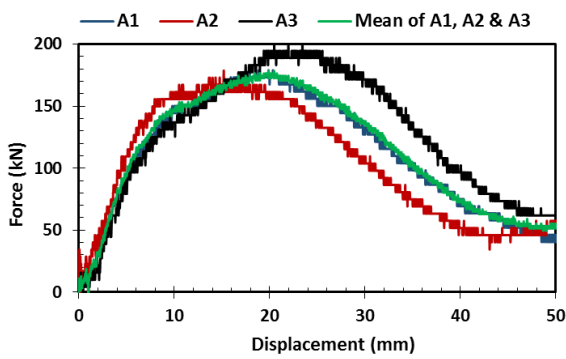
¹ Crack initiation

² Crack propagation



شکل ۱۰- نمودار نیرو- جابجایی برای نمونه‌های گروه G

شکست نمونه‌ها با انرژی کمتری انجام می‌شود. در این شکل نمونه‌های گروه F که ضربه اولیه ۲۰۶۰ ژول به آن اعمال شده است، سطح پایین‌تری دارد. همان طور که اشاره شد، ترک در نقطه‌ای شروع به رشد می‌کند که نیرو به حد اکثر مقدار خود رسیده باشد. در این نقطه شبیه نمودار نیرو- جابجایی صفر است؛ بنابراین، برای تعیین موقعیت شروع ترک باید از داده‌های نیرو بر حسب جابجایی مشتق گرفت و حاصل را برابر صفر قرار داد. با انجام این کار ترک در جابجایی $\frac{19}{87}$ میلی‌متر برای نمونه‌های گروه A شروع به



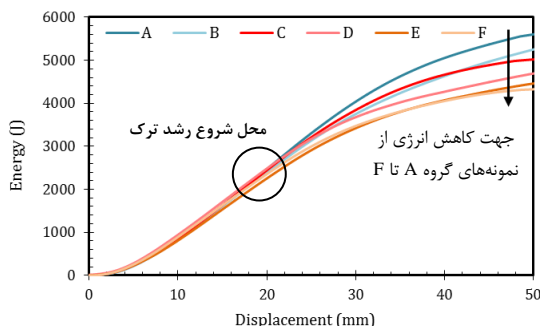
شکل ۱۱- نمودار نیرو- جابجایی برای نمونه‌های گروه A تا F

آن در جدول ۳ ارائه گردید. با استفاده از داده‌های این جدول نمودار انرژی شکست میانگین بر حسب انرژی ضربه کم سرعت برای شش گروه آزمایشگاهی A تا F ترسیم و با یکدیگر مقایسه گردید. این نمودار در شکل ۱۴ نشان داده شده است.

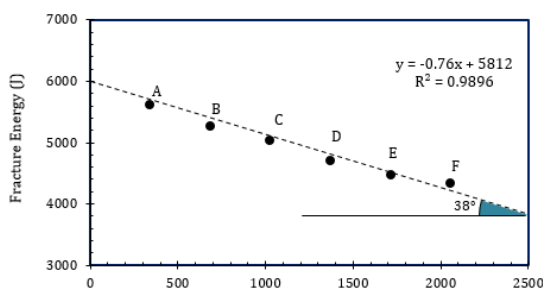
با توجه به شکل ۱۴ ملاحظه می‌شود با افزایش انرژی ضربه کم سرعت مقدار انرژی شکست کاهش یافته است. علت این کاهش انرژی را می‌توان به ایجاد ناحیه پلاستیک و تنش پسماند در مجاورت نوک ترک در اثر ضربه کم سرعت نسبت داد. وجود این تنش‌ها و اثرات کارسختی تأثیر منفی در چقمرمگی شکست فولاد می‌گذارد؛ بنابراین، برای افزایش چقمرمگی شکست فولاد باید اثرات کارسختی و تنش‌های پسماند در نمونه حذف شود [۱۹].

با عبور بهترین خط از داده‌های آزمایشگاهی (۶ نقطه) یک رابطه خطی بین انرژی شکست و انرژی ضربه کم سرعت به صورت زیر بدست می‌آید:

$$y = -0.76x + 5812 \quad (۲)$$

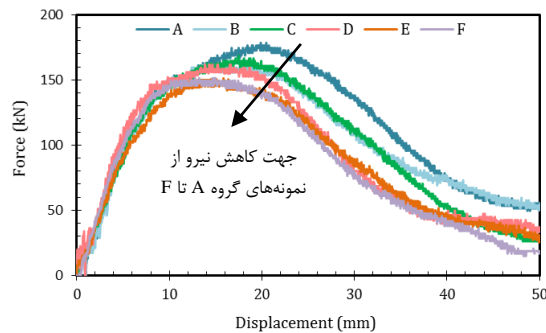


شکل ۱۲- مقایسه نمودارهای انرژی-جابجایی



شکل ۱۳- مقایسه نمودارهای انرژی-جابجایی

شکل ۱۴- نمودار انرژی شکست بر حسب انرژی ضربه کم سرعت



شکل ۱۴- مقایسه منحنی میانگین نیرو-جابجایی برای شش گروه آزمایشگاهی A تا F

رشد کرده و با افزایش انرژی ضربه کم سرعت موقعیت شروع ترک تا جابجایی ۱۴/۶۶ میلی‌متر برای نمونه‌های گروه F کاهش می‌یابد.

با محاسبه سطح زیر نمودار نیرو-جابجایی مقدار انرژی شکست برای نمونه‌های آزمایشگاهی محاسبه می‌شود. با توجه به گسسته بودن داده‌های آزمایشگاهی جهت محاسبه انرژی شکست از انتگرال‌گیری عددی به روش ذوزنقه‌ای استفاده شده است [۸]. همان طور که اشاره شد، مقدار انرژی محاسبه شده قبل از نیروی بیشینه، انرژی شروع ترک (انرژی لازم برای جوانه زنی و ادغام حفره‌ها) و مقدار این انرژی بعد از نیروی بیشینه، انرژی رشد ترک (انرژی لازم برای گسترش ترک و شکست نمونه) را نشان می‌دهد. نمودار انرژی-جابجایی برای میانگین داده‌های شش گروه آزمایشگاهی A تا F در شکل ۱۳ نشان داده شده است.

در شکل ۱۳ مشاهده می‌شود با افزایش انرژی ضربه اولیه مقدار انرژی شکست کاهش می‌یابد؛ همچنین با مقایسه این نمودار با نمودار شکل ۱۲ می‌توان گفت، ترک در نقطه‌ای شروع می‌شود که تقریباً برابر با جابجایی عوض می‌شود. این نقطه همان نقطه عطف در نمودار نیرو-نمودار انرژی-جابجایی با انتگرال‌گیری از نمودار نیرو-جابجایی بدست می‌آید؛ بنابراین مشتق دوم از نمودار انرژی-جابجایی برای تعیین نقطه عطف با مشتق اول از نمودار نیرو-جابجایی برای تعیین اکسترمم برابر است. به این ترتیب می‌توان گفت، موقعیت نیروی ماکزیمم در نمودار نیرو-جابجایی همان نقطه عطف در نمودار انرژی-جابجایی است.

برای بررسی وابستگی انرژی شکست به انرژی ضربه کم سرعت، میانگین انرژی شکست در هر گروه محاسبه و نتایج

آمده از آزمایش حدود ۶ درصد اختلاف دارد. علت این اختلاف، پراکندگی داده‌های آزمایشگاهی نمونه‌های گروه G در مقایسه با سایر نمونه‌ها است. با توجه به چقمرمگی بالای نمونه‌های آزمایشگاهی تقریباً ۵۰ درصد انرژی دستگاه (۱۳۷۳۴ ژول) صرف شکست نمونه‌ها شده است. به همین جهت پراکندگی مقادیر بدست آمده در جدول ۳ کمی زیاد بدست آمده است. پیشنهاد می‌شود، برای کاهش این پراکندگی چکش از ارتفاع بیشتری روی نمونه‌ها سقوط کند. به این ترتیب نرخ بارگذاری افزایش پیدا کرده و ضربه با سرعت بیشتری به نمونه‌ها اعمال می‌شود؛ همچنین استفاده

در این رابطه x انرژی ضربه کم سرعت و y انرژی شکست نمونه می‌باشد. با قرار دادن $x=0$ مقدار انرژی شکست برای نمونه‌ای بدست می‌آید که تحت ضربه کم سرعت قرار نگرفته است. مقدار این انرژی ۵۸۱۲ ژول است. با استفاده از رابطه ۲، تخمین انرژی شکست نمونه آزمایش شده در جدول ۴ ارائه شده است.

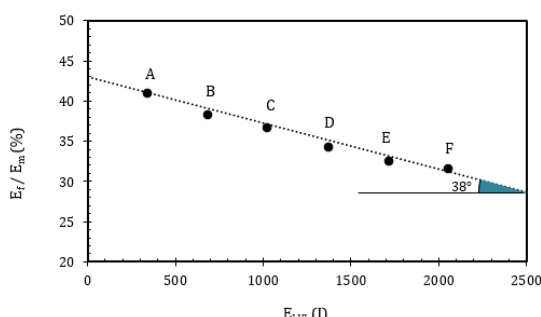
مطلوب جدول ۴ ملاحظه می‌شود، رابطه خطی ۲ با دقت قابل قبولی می‌تواند مقدار انرژی شکست نمونه‌های گروه A را تخمین بزند، ولی برای نمونه‌های گروه G مقدار انرژی شکست تخمین زده شده توسط این رابطه با مقدار بدست

جدول ۳- محاسبه انرژی شکست میانگین، انرژی شروع و رشد ترک برای داده‌های آزمایشگاهی

	نسبت انرژی ضربه کم سرعت به انرژی شکست (%)	انرژی ضربه کم سرعت (J)	نسبت انرژی رشد شکست میانگین (%)	انرژی ترک به انرژی شکست میانگین (J)	نسبت انرژی شروع ترک به انرژی شکست میانگین (%)	انرژی ترک (J)	انحراف معیار (J)	انرژی شکست میانگین (J)	انرژی شکست میانگین (J)	شماره نمونه‌ها
۶/۱۲	۳۴۴	۵۹	۳۳۱۰	۴۱	۲۲۹۸	± ۳۵۴	۵۶۰۸	۵۱۸۳	A1	
								۶۰۵۱	A2	
								۵۳۰۶	B1	
۱۳/۰۴	۶۸۶	۶۳	۳۳۱۱	۳۷	۱۹۴۹	± ۱۷۷	۵۲۶۰	۵۰۲۳	B2	
								۵۴۵۱	B3	
								۵۱۶۷	C1	
۲۰/۵۱	۱۰۳۰	۶۱	۳۰۴۴	۳۹	۱۹۷۸	± ۳۹۸	۵۰۲۲	۴۴۷۸	C2	
								۵۴۲۲	C3	
								۵۱۰۷	D1	
۲۹/۲۲	۱۳۷۳	۶۶	۳۱۰۲	۳۴	۱۵۹۷	± ۲۹۷	۴۶۹۹	۴۴۰۷	D2	
								۴۵۸۲	D3	
								۵۰۶۹	E1	
۳۸/۴۴	۱۷۱۶	۶۷	۳۰۰۶	۳۳	۱۴۵۹	± ۴۳۸	۴۴۶۵	۴۲۸۳	E2	
								۴۰۴۲	E3	
								۴۵۱۰	F1	
۴۷/۶۱	۲۰۶۰	۷۰	۳۰۲۷	۳۰	۱۳۰۱	± ۴۱۸	۴۳۲۸	۳۷۴۹	F2	
								۴۷۲۴	F3	
								۷۰۸۵	G1	
-	-	۶۰	۲۶۹۴	۴۰	۲۴۹۳	± ۶۴۴	۶۱۸۷	۵۶۰۵	G2	
								۵۸۷۲	G3	

جدول ۴- محاسبه انرژی شکست تخمین زده شده با استفاده از رابطه ۲

درصد خطأ (%)	انرژی شکست تخمین زده شده با رابطه ۲ (J)	انرژی شکست آزمایشگاهی (J)	انرژی ضربه کم سرعت (J)	گروه نمونه‌ها	وضعیت آزمایش
۱/۰۱	۵۵۵۱	۵۶۰۸	۳۴۳	A	
۰/۵۸	۵۳۸۸	۵۲۶۰	۶۸۶	B	
۰/۱۴	۵۰۲۹	۵۰۲۲	۱۰۳۰	C	با اعمال ضربه کم سرعت
۰/۱۴	۴۷۶۸	۴۶۹۹	۱۳۷۳	D	
۰/۹۸	۴۵۰۷	۴۴۶۵	۱۷۱۶	E	
۱/۸۷	۴۲۴۶	۴۳۲۸	۲۰۶۰	F	
۶/۰۶	۵۸۱۲	۶۱۸۷	-	G	بدون اعمال ضربه کم سرعت



شکل ۱۵- نمودار نسبت انرژی شکست به انرژی دستگاه بر حسب انرژی ضربه کم سرعت

در مرجع [۱۷] نتایج مشابهی برای آزمایش ضربه کم سرعت روی ۵ گروه نمونه شاربی ارائه شد. آزمایش انجام شده با دستگاه ضربه شاربی در کارخانه لوله سازی اهواز با ظرفیت ۷۵۰ ژول انجام شد. نتایج این آزمایش در جدول ۶ ارائه شده است.

با عبور بهترین خط از میانگین سه داده آزمایشگاهی معادله زیر برای تخمین انرژی شکست بدست آمد:

$$y = -0.33x + 255 \quad (3)$$

در این رابطه y انرژی شکست در آزمایش ضربه شاربی و x انرژی ضربه کم سرعت است. شکل ۱۶ داده‌های آزمایشگاهی و خط برآش شده بر نقاط مختلف را نشان می‌دهد.

از یک شیار در بالای نمونه^۱ می‌تواند تا حد قابل توجهی انرژی شکست نمونه‌های آزمایشگاهی را کاهش داده و این پراکندگی را کمتر کند.

محور عمودی نمودار شکل ۱۴ را می‌توان به صورت بی‌بعد نشان داد. برای این منظور باید داده‌های انرژی شکست (E_t) را بر انرژی دستگاه (J) تقسیم کرد. با کم کردن انرژی شکست از انرژی دستگاه می‌توان مقدار انرژی جذب شده توسط ضربه‌گیرها پس از پایان ضربه را محاسبه کرد. در جدول ۵ نسبت انرژی شکست به انرژی دستگاه بر حسب درصد و مقدار انرژی جذب شده توسط ضربه‌گیرها پس از شکست کامل نمونه ارائه شده است.

این جدول نشان می‌دهد با افزایش انرژی ضربه اولیه انرژی لازم برای شکست نمونه از ۴۵ درصد انرژی دستگاه به ۳۱/۵ درصد کاهش می‌پابد. شکل ۱۵ نمودار نسبت انرژی شکست به انرژی دستگاه را بر حسب انرژی ضربه کم سرعت نشان می‌دهد.

در نمودار شکل ۱۵ با توجه به اینکه داده‌های انرژی شکست بر عدد ثابتی تقسیم شده‌اند، مشاهده می‌شود شبیه خط گذرنده از داده‌ها با نمودار شکل ۱۴ یکسان بوده و همان ۳۸ درجه است.

^۱ Back Slot

جدول ۵- محاسبه نسبت انرژی شکست به انرژی دستگاه در پژوهش حاضر

وضعیت آزمایش	گروه نمونه‌ها	انرژی ضربه کم سرعت (J)	انرژی شکست آزمایشگاهی (J)	انرژی جذب شده توسط ضربه‌گیر (J)	نسبت انرژی شکست به انرژی دستگاه (%)
	A	۳۴۳	۵۶۰.۸	۸۱۲۶	۴۰/۸
	B	۶۸۶	۵۲۶۰	۸۴۷۴	۳۸/۳
با اعمال ضربه کم سرعت	C	۱۰۳۰	۵۰۲۲	۸۷۱۲	۳۶/۶
بدون اعمال ضربه کم سرعت	D	۱۳۷۳	۴۶۹۹	۹۰۳۵	۳۴/۲
	E	۱۷۱۶	۴۴۶۵	۹۲۶۹	۳۲/۵
	F	۲۰۶۰	۴۳۲۸	۹۴۰۶	۳۱/۵
بدون اعمال ضربه کم سرعت	G	-	۶۱۸۷	۷۵۴۷	۴۵

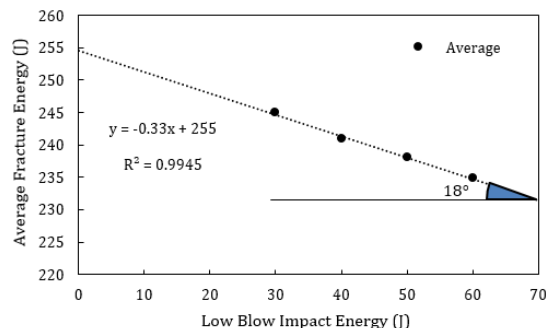
جدول ۶- محاسبه انرژی شکست نمونه‌های آزمایش ضربه شارپی در آزمایش ضربه کم سرعت

وضعیت آزمایش	گروه نمونه‌ها	انرژی ضربه کم سرعت (J)	انرژی شکست آزمایشگاهی (J)	نسبت انرژی شکست به انرژی دستگاه (%)
	۱	۳۰	۲۴۵	۳۲/۶
با اعمال ضربه کم سرعت	۲	۴۰	۲۴۱	۳۲/۱
	۳	۵۰	۲۳۸	۳۱/۷
	۴	۶۰	۲۳۵	۳۱/۳
بدون اعمال ضربه کم سرعت	۵	-	۲۵۸	۳۴/۴

مقدار ۲۵۸ ژول از جدول ۵ تطابق خوبی دارد. رابطه بدست آمده در این شکل به دلیل کم بودن انرژی‌های ضربه کم سرعت را نمی‌توان به معادله (۲) مرتبط کرد. در رابطه (۲) شبی نمودار ۳۸ درجه است که بیش از دو برابر شبی نمودار شکل ۱۴ است.

۵- نتیجه‌گیری

در تحقیق حاضر برای نخستین بار اثر ضربه کم سرعت بر نمونه با شیار ماشین‌کاری شده از جنس فولاد API X65 از طریق آزمایش ضربه سقوطی بررسی شد. نتایج حاصل در این پژوهش از ترسیم منحنی‌های مربوطه عبارت است از:



شکل ۱۶- نمودار انرژی شکست بر حسب انرژی ضربه کم سرعت در آزمایش شارپی

در معادله نشان داده شده در شکل ۱۶ با قرار دادن $x=0$ مقدار انرژی شکست شارپی ۲۵۵ ژول بدست می‌آید که با

انرژی ماشین، J

E_m

۱- با ترسیم و مقایسه نمودار نیرو-جایجایی برای داده‌های آزمایشگاهی مشاهده شد با افزایش انرژی ضربه اولیه مقدار نیروی حداکثر در جایجایی کمتری صورت می‌گیرد.

شتاب گرانش، m/s^2

g

۲- در نمودار انرژی شکست بر حسب جایجایی نقطه عطف همان محل نیروی حداکثر را نشان می‌دهد.

ارتفاع سقوط چکش، m

h

۳- نقطه عطف در نمودار انرژی-جایجایی و نیروی حداکثر در نمودار نیرو-جایجایی موقعیت شروع ترک را نشان می‌دهد.

سرعت چکش، m/s

V

۴- ترسیم نمودار انرژی شکست بر حسب انرژی ضربه اولیه نشان می‌دهد با افزایش انرژی ضربه اولیه، انرژی شکست کاهش می‌یابد.

انرژی ضربه کم سرعت، J

x

۵- با عبور یک خط از داده‌های بدست آمده یک رابطه خطی برای بیان ارتباط بین انرژی شکست با انرژی ضربه کم سرعت ارائه شد. به این ترتیب با معلوم بودن انرژی ضربه اولیه می‌توان انرژی شکست نمونه را در آزمایش ضربه سقوطی تخمین زد.

انرژی شکست، J

y

۶- با مقایسه نتایج بدست آمده از این پژوهش با مرجع [۱۷] ملاحظه شد، شبیخ خط برآش بر داده‌های آزمایشگاهی در آزمایش ضربه سقوطی حدود دو برابر شبیخ خط در آزمایش ضربه شارپی است.

- مراجع

- [1] API Specification 5L (2012) Specification for Line Pipe. 45th edn. American Petroleum Institute (API). Washington DC.
- [2] Dieter GE. (1961) Mechanical Metallurgy. McGraw-Hill, United State of America: 370-390.
- [3] Zhao J, Hu W, Wang X, Kang J, Yuan G, Di H, Misra RDK (2016) Effect of microstructure on the crack propagation behavior of microalloyed 560 MPa (X80) strip during ultra-fast cooling. Mat Sci Eng A-Struct 666: 214-224.
- [4] Majidi-Jirandehi A, Hashemi SH (2017) Investigation of macroscopic fracture surface characteristics of spiral welded API X65 gas transportation pipeline steel. Modares Mechanical Engineering 17(11): 219-228. (In Persian)
- [5] Ferahat H, Ahmadi-Brooghani SY (2017) Studying the behavior of A356/SiCp composite foam under low-velocity impact loading. Journal of Solid and Fluide Mechanics 7(2): 129-147. (In Persian)
- [6] Jonson W (1972) Impact strength of materials. Edward Arnold Co.
- [7] Scheider I, Nonn A, Lee S, Völling A, Mondry A, Kalwa C (2014) A damage mechanics based evaluation of dynamic fracture resistance in gas pipelines, 20th European Conference on Fracture (ECF20), Procedia Materials Science 3, Trondheim, Norway: 1956-1964.
- [8] Asgarabad EF, Hashemi SH (2020) Experimental measurement and numerical evaluation of fracture energy in drop weight tear test specimen with chevron notch on API X65 steel. Modares Mechanical Engineering 20(5): 1145-1156. (In Persian)
- [9] Asgarabad EF, Hashemi SH (2020) Experimental and numerical study of energy absorbtion in drop weight tear test specimen with Chevron notch on API X65 steel. Journal of Solid and Fluide Mechanics 10(2): 95-110. (In Persian)

- تشکر و قدردانی

از شرکت لوله و تجهیزات سدید به جهت در اختیار قرار دادن فولاد API X65 جهت آزمایش قدردانی می‌شود؛ همچنین، از شرکت گاز استان خراسان جنوبی جهت حمایت مالی در بخشی از طرح پژوهشی ساخت دستگاه آزمایش سقوط آزاد وزنه تشکر می‌نماید.

- فهرست علائم

شتاب چکش، m/s^2	a
انرژی شکست، J	E_f
انرژی ضربه کم سرعت، J	E_{LVI}

- [15] Tazimi M, Hashemi SH, Rahnama S (2020) Experimental Study of Fracture Surface Characteristics of Inhomogeneous Drop Weight Tear Test Specimen Made from API X65 Steel. *Journal of Solid and Fluid Mechanics* 10(1): 77-91. (In Persian)
- [16] Fang J, Zhang J, Wang L (2014) Evaluation of cracking behavior and critical CTOA values of pipeline steel from DWTT Specimens. *Eng Fract Mech* 124-125: 18-29.
- [17] Moradpour MA, Tayebimanesh AS, Hashemi SH (2017) Study of low velocity impact on charpy fracture energy in API X65 steel. 25th Annual Conference of Mechanical Engineering (ISME), Department of Mechanical Engineering, University of Tarbiat Modares, Tehran, Iran.
- [18] API RP 5L3 (1996) Recommended practice conducting drop-weight tear test on line pipe. 3rd edn. American Petroleum Institute (API). Washington DC: 1-9.
- [19] Godse R, Gurlan J, Suresh S (1988) Effects of residual stresses in fracture toughness testing of hard metals. *Mat Sci Eng A-Struct* 105-106: 383-387.
- [10] Sayah Badkhor M, Mirzababaie mostofi T, Babaei H (2020) Low-velocity impact response of plate with different geometries under hydrodynamic load: Experimental investigation and process optimization by response surface methodology. *Modares Mechanical Engineering* 20(4):807-818.
- [11] Yu PS, Ru CQ (2016) Analysis of energy absorptions in drop-weight tear tests of pipeline steel. *Eng Fract Mech* 160: 138-146.
- [12] Rudland DL, Wilkowski GM, Feng Z, Wang YY, Horsley D, Glover A (2003) Experimental investigation of CTOA in linepipe steels. *Eng Fract Mech* 70: 567-577.
- [13] Hari Manoj Simha C, Xu S, Tyson WR (2014) Non-local phenomenological damage-mechanics-based modeling of the Drop-Weight Tear Test. *Eng Fract Mech* 118: 66-82.
- [14] Hari Manoj Simha C, Xu S, Tyson WR (2015) Computational modeling of the drop-weight tear test: A comparison of two failure modeling approaches. *Engineering Fracture Mechanics*. 148: 304-323.